

$$\omega(a\pi) > 0 ; \omega(-\frac{2}{\pi}) > \lambda ; \omega(\frac{\pi}{2}) > -\lambda ; \omega(1) = 0 .$$

Ces conditions équivalent à  $\lambda = \omega(\frac{2}{\pi}) = 1 - \frac{1}{2^{n+1}}$  : le seul point de la forme  $(a, \lambda)$

fixe par  $\mathcal{G}_n$  est  $P_{n+1}$ .

Remarque 3.5.9 : Le résultat précédent montre que l'immeuble  $I_K(\mathcal{G})$ , qui est réduit à un point ne peut se plonger dans l'immeuble  $I_L(\mathcal{G})$ .

Cependant on n'a pas trouvé d'exemple de groupe réductif  $\mathcal{G}$  tel que  $I_K(\mathcal{G})$  ne se plonge dans aucun  $I_L(\mathcal{G})$ , pour  $L$  extension algébrique de  $K$  déployant  $\mathcal{G}$ , (en particulier on n'a pas trouvé de contre-exemple à 3.4.2).

## IV - UN LEMME DE REDRESSEMENT

Pour ce chapitre, on se donne un groupe semi-simple  $\mathcal{G}$  défini sur un corps  $K$  complet pour une valuation réelle non triviale  $\omega$ , et une extension galoisienne finie  $L/K$  de groupe de Galois  $\Gamma$ . On note  $\mathcal{O}_L$  l'anneau des entiers de  $L$  pour la valuation  $\omega$ , unique prolongement à  $L$  de la valuation de  $K$ . On suppose que  $\mathcal{G}$  a un immeuble sur  $L$ .

Le but est de généraliser dans ce cadre la proposition 3.3.6. L'idée est simple :

Soit  $\Delta$  une partie convexe d'un appartement  $A$  de l'immeuble  $I_L(\mathcal{G})$ , fixe par  $\Gamma$ ; la possibilité de trouver un appartement  $A'$  fixe par  $\Gamma$  et contenant  $\Delta$ , dépend de la nullité d'une 1-classe de cohomologie de  $\Gamma$  dans  $\hat{P}_\Delta$ .

En fait on se fixe un nombre réel  $\epsilon$ ,  $\epsilon > 0$ , et on cherche un appartement  $A'$  contenant  $\Delta$  tel que, si  $B$  désigne le sous-espace affine de  $A'$  engendré par  $\Delta$ , l'ensemble  $\Delta(A', \epsilon)$ , des points de  $B$  à distance au plus  $\epsilon$  de  $\Delta$ , soit fixe par  $\Gamma$ . La possibilité de trouver un tel appartement  $A'$  dépend de la nullité d'une 1-classe de cohomologie, de  $\Gamma$  dans un groupe  $(V_\Delta \cdot N_{\Delta, \epsilon}) / N_{\Delta, \epsilon}$ , où  $V_\Delta$  est la partie "unipotente" de  $\hat{P}_\Delta$  et  $N_{\Delta, \epsilon}$  un sous-groupe de  $\hat{P}_\Delta$ , dépendant de  $\epsilon$ ; si  $\epsilon$  n'est pas "trop grand par rapport à  $\Delta$ ", ce quotient est stable par le groupe de Galois. (Avec les notations du § 2, le rôle de  $N_{\Delta, \epsilon}$  est joué par les groupes  $U_j$ , celui de  $V_\Delta \cdot N_{\Delta, \epsilon}$  par les groupes  $U_j^1$ , et les assertions ci-dessus sont grosso-modo 4.2.8 et 4.2.14 a)).

L'étape suivante consiste à remarquer que le groupe  $V_\Delta \cdot N_{\Delta, \epsilon} / N_{\Delta, \epsilon}$  se décompose en groupes commutatifs qui sont des  $\Gamma$ - $\theta$ -modules. (ce résultat, vraisem-

blable, n'est en fait montré que d'une manière affaiblie dans le lemme 4.2.10).

Si l'extension est modérément ramifiée, on montre la nullité de la 1-classe de cohomologie grâce à 3.3.2 b) et 3.3.4 a).

Si l'extension n'est pas modérément ramifiée, on est amené à introduire une partie convexe  $\Delta'$  de  $\Delta$ , telle que  $\Delta \subset \Delta'(A, e)$  et à chercher un appartement  $A'$  contenant  $\Delta'$ , tel que  $\Delta'(A', e)$  soit fixe par  $\Gamma$ ; pour qu'un tel  $A'$  existe il suffit que l'image de la 1-classe de cohomologie de  $\Gamma$  dans  $V_{\Delta} \cdot N_{\Delta, e} / N_{\Delta, e}$  soit zéro dans  $H^1(\Gamma, V_{\Delta'} \cdot N_{\Delta', e} / N_{\Delta', e})$ .

L'énoncé précis de la généralisation cherchée est donné au paragraphe 1, il ne s'applique qu'à certaines parties convexes d'appartement. La démonstration, très technique, occupe, avec quelques remarques sur l'amélioration des constantes, le paragraphe 2.

### §1 Énoncé du lemme.

Soit  $A = A_{\mathcal{J}}$  un appartement de l'immeuble  $I_L(\mathcal{J})$ , on note toujours  $V = V_A$  l'espace vectoriel  $X_*(\mathcal{J}) \otimes_{\mathbb{Z}} \mathbb{R}$  des translations de  $A$ .

**Définition 4.1.1.** Un bon paralléloétope de  $A$  est un sous-ensemble convexe, fermé, non vide  $\Delta$  de  $A$  construit comme suit :

On se donne une base  $B$  du système de racines  $\Phi = \Phi(\mathcal{J})$ , une partition de celle-ci en  $r$  sous-ensembles  $B_1, \dots, B_r$ , un point  $x$  de  $A$  et  $r$  segments non vides  $[f_i, g_i]$  de  $\mathbb{R} \cup \{\pm \infty\}$ .

Pour  $a \in B$ , notons  $e_a$  l'élément correspondant à  $a$  de la base de  $V$  duale de  $B$ , (ainsi  $a(e_a) = 1$  et  $a'(e_a) = 0$  si  $a' \in B$ ,  $a' \neq a$ ). Pour tout  $i$ ,  $1 \leq i \leq r$ , on pose :  $e_i = \sum_{a \in B_i} e_a \in V$ , et on définit alors :

$$\Delta = \left\{ y \in A / y - x = \sum_{i=1}^r \lambda_i e_i ; \text{ avec } \lambda_i \in [f_i, g_i], \forall i = 1, \dots, r \right\}.$$

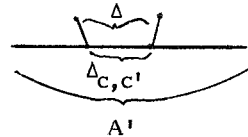
**Définitions 4.1.2.** Soient  $c$  et  $c'$  deux constantes réelles telles que  $c \geq 2c' \geq 0$  et  $\Delta$  un bon paralléloétope de  $A$  construit à partir des éléments  $x$ ,  $(B_i, [f_i, g_i])_{i=1, \dots, r}$ .

a) On note  $\Delta_{c, c'}$  le bon paralléloétope de  $A$ , contenu dans  $\Delta$  construit à partir des éléments  $x$ ,  $(B_i, [f'_i, g'_i])_{i=1, \dots, r}$ , où  $f'_i$  (resp.  $g'_i$ ) est égal à  $f_i$  (resp.  $g_i$ ) si  $g_i - f_i \leq c$  et à  $f_i + c'$  (resp.  $g_i - c'$ ) sinon.

b) Dans tout appartement  $A'$  de l'immeuble contenant  $\Delta_{c, c'}$ , on note  $V(c, c', \Delta, A')$  le sous-espace vectoriel de l'espace  $V_{A'}$  des translations de  $A'$ , engendré par les vecteurs translation  $y_1 - y_2 \in V_{A'}$ , calculés dans  $A'$ , pour tout couple de points  $y_1, y_2$  de  $\Delta_{c, c'}$ .

tels que le vecteur  $y_1 - y_2 \in V_A$ , calculé dans  $A$ , soit colinéaire à un vecteur  $e_i$  pour  $i \in \{1, \dots, r\}$ , tel que  $g_i - f_i > c$ .

c) Dans tout appartement  $A'$  de l'immeuble, contenant  $\Delta_{c,c'}$ , on appelle  $(c,c')$ -redressé de  $\Delta$  dans  $A'$ , le bon parallélotope de  $A'$  réunion des translatés de  $\Delta_{c,c'}$  par les translations appartenant à  $V(c,c',\Delta,A')$ .



Remarques 4.1.3.

a) Dans le cas de rang 1, toute partie convexe fermée non vide d'un appartement est un bon parallélotope.

b) L'espace  $V(c,c',\Delta,A')$  de 4.1.2 b) ne dépend que de  $\Delta$ ,  $A'$  et  $c$ .

c) Si  $\Delta$  est un bon parallélotope de  $A$ , le  $(c,c')$ -redressé de  $\Delta$  dans  $A$  est le bon parallélotope construit avec les mêmes éléments que  $\Delta$ , si ce n'est que l'on remplace  $[f_i, g_i]$  par  $[-\infty, +\infty]$  dès que  $g_i - f_i > c$ .

d) Dans le cas particulier important où, pour tout  $i = 1, \dots, r$ , on a  $g_i - f_i > c$  ou  $g_i = f_i$ , (par exemple si  $c = 0$ ), le  $(c,c')$ -redressé de  $\Delta$  dans  $A'$  est la sous-variété affine de  $A'$  engendrée par  $\Delta_{c,c'}$ .

e) Sauf en rang 1, les bons parallélotopes sont des cas très particuliers de parties convexes fermées ; cependant la proposition suivante montre qu'il y en a suffisamment pour les applications du lemme faites au chapitre V.

Proposition 4.1.4. Soient  $A$  un appartement de  $I_L(\mathbb{k})$  et  $\Delta$  un segment ou une demi-droite de  $A$ , fixe sous l'action du groupe de Galois  $\Gamma$  sur  $I_L(\mathbb{k})$ .

Alors il existe un bon parallélotope  $\Delta_1$  de  $A$ , fixe par  $\Gamma$  et contenant  $\Delta$ .

Remarque. On peut généraliser cette proposition au cas d'une droite, ce qui

est évident et sans intérêt, mais aussi au cas où  $\Delta$  est l'enveloppe convexe d'un point et d'un germe de demi-droite.

Démonstration :

1) Pour tout élément  $\gamma$  de  $\Gamma$ ,  $\gamma A$  est un appartement contenant l'enclos  $cl(\Delta)$  de  $\Delta$  ; il existe donc (1.1.9.2 b)) un élément  $h_\gamma$  de  $\mathcal{E}(L)$  qui fixe  $cl(\Delta)$  et tel que  $\gamma A = h_\gamma \cdot A$ . Ainsi  $h_\gamma^{-1} \cdot \gamma$  est un automorphisme de  $I_L(\mathbb{k})$ , qui stabilise  $A$ , fixe  $\Delta$  et induit un automorphisme du système de racines  $\mathfrak{f}$  relatif à  $A$ .

2) Soit  $x$  une extrémité du segment ou l'extrémité de la demi-droite  $\Delta$  ; considérons alors :

$$\mathfrak{f}_1 = \{a \in \mathfrak{f} / a(y-x) \geq 0 \quad \forall y \in \Delta\}$$

$$\mathfrak{f}_2 = \{a \in \mathfrak{f} / a(y-x) = 0 \quad \forall y \in \Delta\},$$

$\mathfrak{f}_1$  est un ensemble parabolique de racines de  $\mathfrak{f}$ , et  $\mathfrak{f}_2$  est le sous-système de racines de  $\mathfrak{f}$  associé à  $\mathfrak{f}_1$  ; on a donc une base  $B$  de  $\mathfrak{f}$  contenue dans  $\mathfrak{f}_1$  et telle que  $B \cap \mathfrak{f}_2$  soit une base de  $\mathfrak{f}_2$ , ([3 ; VI n° 1.7]).

Soit  $y$  dans  $\Delta$ , différent de  $x$  ; si  $\Delta$  est un segment on choisit pour  $y$  l'extrémité différente de  $x$  de  $\Delta$ . Notons  $g_0 = 0, g_1, \dots, g_r$  les éléments de l'ensemble réunion de zéro et des nombres  $a(y-x)$  pour  $a \in B$ . Si on définit  $B_i = \{a \in B / a(y-x) = g_i\}$  pour  $i = 0, 1, \dots, r$ , on a  $B_0 = B \cap \mathfrak{f}_2$  et  $(B_0, B_1, \dots, B_r)$  est une partition de  $B$ .

Soit  $(\epsilon_a)_{a \in B}$  la base de  $V_A$  duale de  $B$  (comme en 4.1.1) ; pour  $i = 1, 2, \dots, r$ , on définit  $e_i \in V_A$  par :  $e_i = \sum_{a \in B_i} \epsilon_a$ .

3) Pour tout  $\gamma \in \Gamma$ ,  $h_\gamma^{-1} \cdot \gamma$  fixe  $\Delta$  et induit un automorphisme de  $\mathfrak{f}$  ; il stabilise donc  $\mathfrak{f}_2$  et  $\mathfrak{f}_1$ . Il en résulte que pour tout  $i = 1, 2, \dots, r$ , tout  $a \in B_i$  et tout

$\gamma \in \Gamma$ , il existe  $a' \in B_1$  et  $b \in \mathfrak{g}_2$  tels que  $h_\gamma^{-1} \cdot \gamma(a) = a' + b$ .

Donc  $h_\gamma^{-1} \cdot \gamma$  fixe  $e_i \in V_A$  et le bon paralléloétope

$\Delta_2 = \left\{ z \in A/z-x = \sum_{i=1}^r \lambda_i e_i ; \lambda_i \in \mathbb{R} \right\}$ . Définissons maintenant  $g'_1, \dots, g'_r \in \tilde{\mathbb{R}}$  par

$g'_i = g_i$  si  $\Delta$  est un segment et  $g'_i = +\infty$  si  $\Delta$  est une demi-droite. Considérons

le bon paralléloétope  $\Delta_1$  de  $A$  inclus dans  $\Delta_2$  et contenant  $\Delta$  défini par :

$$\Delta_1 = \left\{ z \in A/z-x = \sum_{i=1}^r \lambda_i e_i ; \lambda_i \in [0, g'_i] \right\}.$$

$\Delta_1$  est contenu dans l'enclos de  $\Delta$ , il est donc fixe pour chacun des  $h_\gamma$  ; comme il

est contenu dans  $\Delta_2$ , il est fixe par chacun des  $h_\gamma^{-1} \cdot \gamma$  ; en définitive il est fixe

par  $\Gamma$  et c'est le bon paralléloétope cherché.

#### 4.1.5. Lemme de redressement.

Il existe deux constantes réelles  $C_1$  et  $C_2$  vérifiant  $C_1 \geq 2C_2 > 0$  et ne dépendant que du rang semi-simple absolu de  $\mathfrak{g}$  telles que :

Pour tout bon paralléloétope  $\Delta$ , fixe par  $\Gamma$ , d'un appartement de  $I_L(\mathfrak{g})$ , et pour tout nombre réel  $\sigma$  supérieur ou égal à la sauvagerie  $s(L/K)$ , il existe un  $(C_1 \cdot \sigma, C_2 \cdot \sigma)$ -redressé de  $\Delta$  qui soit fixe par  $\Gamma$ .

#### Remarques 4.1.6.

a) Ce lemme est valable sous les hypothèses générales du chapitre, à savoir  $K$  complet et  $\mathfrak{g}$  semi-simple ; cependant il résulte de 2.4.7 d) et 2.4.8, que la généralisation au cas où  $\mathfrak{g}$  est réductif est évidente. D'autre part, on peut pour la démonstration supposer  $\mathfrak{g}$  adjoint (2.4.7 h)).

b) Il est probable que, quitte à le reformuler, ce lemme est valable pour tout sous-ensemble convexe fermé d'un appartement. C'est de toute façon vrai dans le

cas particulier où  $s(L/K) = 0$  : la formulation est claire et la démonstration se calque sur celle que l'on va donner. Nous n'aurons pas besoin de cette généralisation.

c) Il est facile de voir que ce lemme généralise la proposition 3.3.6 ; mais nous n'obtiendrons pas de généralisation de la proposition 3.3.8 qui dit, en particulier, que au rang 1 les constantes  $C_1 = 2$ ,  $C_2 = 1$  et  $s(L/K)$  sont les meilleurs possibles : les constantes  $C_1$  et  $C_2$  que nous obtiendrons sont sans doute très mauvaises (au moins pour  $C_1$ ) et il n'est pas prouvé que  $s(L/K)$  soit le bon invariant de l'extension (cf. 3.3.5).

d) On va en fait montrer seulement que les constantes  $C_1$  et  $C_2$  ne dépendent que de la "géométrie" de l'appartement  $A$  ; c'est-à-dire que l'on peut les calculer à partir du système de racine  $(V_A, \mathfrak{g})$  de l'appartement  $A$  et du produit scalaire normalisé défini sur  $V_A$  en 2.2.3 b). Cette géométrie ne dépend pas, à isomorphisme près, de l'appartement choisi dans l'immeuble. On peut la définir sans que l'immeuble existe.

L'énoncé, plus fort, du lemme résultera alors du lemme ci-dessous.

Lemme 4.1.7. Le nombre des géométries des immeubles des groupes semi-simples sur des corps (henséliens), de rang semi-simple absolu donné, est fini.

Démonstration : Cela résulte aussitôt de la classification des groupes semi-simples sur un corps, donnée dans [27]. On peut aussi le déduire facilement de la classification des systèmes de racines et de la finitude du groupe des automorphismes d'un système de racines.

§2 Démonstration du lemme.

Dans la suite,  $d(\cdot, \cdot)$  désignera la métrique normalisée de  $I_L(\mathfrak{g})$  définie en 2.2.3.

4.2.1. Quelques lemmes :

Soient  $z$  un point de  $I_L(\mathfrak{g})$ ,  $A$  un appartement contenant  $z$ ,  $\mathfrak{h}$  le système de racine associé et  $e$  un nombre réel positif, on définit :

$$B(z, e) = \{y \in I_L(\mathfrak{g}) / d(y, z) \leq e\}$$

$$B'(z, A, e) = \{y \in A / \text{il existe une base } B \text{ de } \mathfrak{h} \text{ telle que } |a(y-z)| \leq e \ \forall a \in B\}$$

$$B''(z, A, e) = \{y \in A / |a(y-z)| \leq e \ \forall a \in \mathfrak{h}\}.$$

Lemme 4.2.2. Il existe deux constantes réelles positives  $C$  et  $C'$  ne dépendant que de la "géométrie" de  $I_L(\mathfrak{g})$  telles que :  $C.C' \geq 1$  et  $B''(z, A, e) \subset B'(z, A, e) \subset A \cap B(z, C.e) \subset B''(z, A, C.C'.e)$  pour tout triplet  $(z, A, e)$  comme ci-dessus.

Démonstration : c'est évident.

Lemme 4.2.3. Il existe une constante réelle  $h_1 \geq 1$ , ne dépendant que de la "géométrie" de  $I_L(\mathfrak{g})$ , telle que le groupe  $U_{A \cap B(z, h_1 e)}$  fixe  $B(z, e)$  pour tout triplet  $(z, A, e)$  comme en 4.2.1.

Remarque. Le fixateur de  $B(z, e) \cup (A \cap B(z, h_1 e))$  est donc

$$H_1 \cdot U_{A \cap B(z, h_1 e)} \subset P_{A \cap B(z, h_1 e)}, \text{ où } H_1 \subset H \text{ est le fixateur de } A \cup B(z, e).$$

Démonstration : On peut supposer  $e$  non nul. Si  $B$  est une base de  $\mathfrak{h}$ ,  $B$  détermine une chambre vectorielle de l'espace  $V_A = V$  des translations de  $A$ . Considérons le cône  $c_{B, e}$  de  $A$ , circonscrit à la boule  $A \cap B(z, e)$  et dont la direc-

tion est cette chambre vectorielle,  $(c_{B, e}$  est l'intersection des demi-espaces  $D^Z(a+k)$  de  $A$ , pour  $a \in B$ ,  $k \in \mathbb{R}$  et  $A \cap B(z, e) \subset D^Z(a+k)$ ; cf. 2.1.11 c).

Soient  $x_{B, e}$  le sommet de ce cône,  $d_B = \frac{d(z, x_{B, e})}{e} > 0$  et  $v_B = \frac{z - x_{B, e}}{e - d_B} \in V$ .

Alors  $d_B$  et  $v_B$  ne dépendent que de la géométrie et de  $B$ , de plus  $v_B$  est un vecteur de norme 1. Considérons la constante  $h_B$  strictement positive associée au vecteur  $v_B$  par [11; 7.4.33], elle ne dépend que de  $B$  et de la géométrie.

On sait alors que  $U_{c_{B, e}}$  fixe la boule  $B(z, d_B \cdot h_B \cdot e)$ ; ainsi, si l'on pose  $h' = \inf_B \{d_B \cdot h_B\}$ , on sait que  $U_{A \cap B(z, e)}$  fixe la boule  $B(z, h'e)$ . Il suffit donc de prendre  $h_1 = \frac{1}{h'}$ .

Lemme 4.2.4. Soient  $z$ ,  $A = A_\varphi$  et  $e$  comme en 4.2.1, alors le fixateur de  $A \cup B(z, e)$  dans  $\mathfrak{g}(L)$  ne dépend que de  $A, e$  et de l'orbite de  $z$  sous le groupe  $\nu(\mathcal{Y}(L))$  formé de translations de  $A$ . Si la valuation  $\omega$  est dense, ce fixateur ne dépend que de  $A$  et  $e$ .

Démonstration : Si  $t \in \mathcal{Y}(L)$ , le fixateur de  $A \cup B(t, z, e)$  est le conjugué par  $t^{-1}$  du fixateur de  $A \cup B(z, e)$ ; c'est-à-dire que c'est ce fixateur puisque  $\mathcal{Y}(L)$  centralise  $Z_L(\mathcal{Y})$  qui contient le fixateur de  $A$ , (2.1.15 f et 2.1.8 a)). Si  $\omega$  est dense, l'orbite de  $z$  est dense dans  $A$  et, par continuité, le fixateur de  $A \cup B(z, e)$  est indépendant de  $z$ .

4.2.5. Définition des constantes :

Soient  $C, C', h_1$  des constantes satisfaisant aux conditions des lemmes ci-dessus et  $C''$  la somme des coefficients de la plus grande racine de  $\mathfrak{h}$ , (si  $\mathfrak{h}$  est irréductible, et si  $h$  est le nombre de Coxeter de  $\mathfrak{h}$ , on a  $C'' = h-1$  ou  $h$  selon que  $\mathfrak{h}$  est réduit ou non); on définit alors un entier :

$$N = \inf \{n \in \mathbf{N} / 2^n > C''\} \geq 1.$$

Les constantes  $C_1$  et  $C_2$  du lemme de redressement seront :  $C_2 = N$  et  $C_1 = (1+2 \cdot C \cdot C' \cdot h_1^{N+2}) \cdot C_2 + 1 \geq 3C_2 + 1$ , à condition d'augmenter, éventuellement,  $C'$  de façon que  $C_2 \cdot C \cdot C' \cdot h_1^{N+2}$  soit un entier (supérieur ou égal à 1).

Il est clair que  $C_1$  et  $C_2$  ne dépendent que de la géométrie de l'immeuble.

Remarque. Dans le cas où  $\mathfrak{g}$  est de rang semi-simple absolu 1, on obtient  $C_2 = C \cdot C' = h_1 = 1$  et  $C_1 = 4$ ; or les constantes obtenues par un calcul direct, et qui sont les meilleures (3.3.6 et 3.3.8), sont  $C_1 = 2$  et  $C_2 = 1$ . Dans le cas général, on peut se demander, par exemple, si on peut remplacer  $C_1$  par  $2C_2$ .

On indiquera à la remarque 4.2.9 b, comment la démonstration qui va suivre peut être modifiée dans le cas de rang absolu 1 pour montrer que  $C_1 = 2$  et  $C_2 = 1$  conviennent.

#### 4.2.6. Début de la démonstration du lemme de redressement.

a) On se donne donc un bon parallélotope  $\Delta$ , fixe par  $\Gamma$ , d'un appartement  $A = A_{\mathcal{P}}$  et un nombre réel  $\sigma$ ,  $\sigma \geq s(L/K)$ , et il s'agit de montrer qu'il existe un  $(C_1 \cdot \sigma, C_2 \cdot \sigma)$  redressé de  $\Delta$  qui est fixe par  $\Gamma$ .

Par définition de la sauvagerie  $s(L/K)$ , il existe  $\lambda \in L^*$  tel que  $s(L/K) \leq \omega \left( \frac{T_{L/K}(\lambda)}{\lambda} \right) \leq \sigma$ , on peut donc supposer que  $\sigma = \omega \left( \frac{T_{L/K}(\lambda)}{\lambda} \right) \in \omega(L^*)$ .

b) Le bon parallélotope  $\Delta$  est construit à partir des éléments  $x$ ,  $(B_i, [f_i, g_i])_{i=1, \dots, r}$ , comme en 4.1.1 dont on reprend les notations. Quitte à changer  $x$  on peut supposer que, pour tout  $i$ , on a  $f_i \leq 0$  et  $g_i \geq 0$ , et alors  $x \in \Delta$ .

Dire que  $\Delta$  est un  $(C_1 \cdot \sigma, C_2 \cdot \sigma)$ -redressé de  $\Delta$ , c'est dire que pour tout  $i$  tel que  $g_i - f_i > C_1 \cdot \sigma$ , on a  $g_i = +\infty$  et  $f_i = -\infty$ . Dans ce cas le résultat cherché est clair. Dans le cas contraire, il existe  $j$  tel que  $g_j - f_j > C_1 \cdot \sigma$  et que  $g_j < +\infty$  ou  $f_j > -\infty$ ; on peut supposer que  $j = 1$  et, quitte à changer au besoin  $(B_i, [f_i, g_i])_{i=1, \dots, r}$  en  $(-B_i, [-g_i, -f_i])_{i=1, \dots, r}$ , que  $f_1 > -\infty$ . Quitte à changer  $x$ , on peut supposer que tous les  $f_i$  sont  $-\infty$  ou 0.

c) On va montrer en 4.2.14, qu'il existe un bon parallélotope  $\Delta_\infty$  contenu dans un  $(C_1 \cdot \sigma, C_2 \cdot \sigma)$ -redressé de  $\Delta$ , fixe par  $\Gamma$ , tels que  $(\Delta_\infty)_{C_1 \cdot \sigma, C_2 \cdot \sigma}$  contienne  $\Delta_{C_1 \cdot \sigma, C_2 \cdot \sigma}$  et que  $\Delta_\infty$  soit construit à partir des segments  $([-\infty, g_1], ([f_i, g_i])_{i=2, \dots, r})$ . Ce résultat permet bien, par récurrence, de montrer qu'il existe un  $(C_1 \cdot \sigma, C_2 \cdot \sigma)$ -redressé de  $\Delta$  fixe par  $\Gamma$ ; (en effet, d'après les propriétés indiquées, tout  $(C_1 \cdot \sigma, C_2 \cdot \sigma)$ -redressé de  $\Delta_\infty$  est un  $(C_1 \cdot \sigma, C_2 \cdot \sigma)$ -redressé de  $\Delta$ ).

Les ingrédients nécessaires à la démonstration sont introduits dans les numéros 4.2.7 à 4.2.13.

#### 4.2.7. Construction des groupes de dévissage.

a) Soient  $x_0 = x + f_1 e_1 = x$  et  $\rho_0 = g_1 - f_1 = g_1$ . Pour  $j = 0, 1, \dots, N$  posons  $\rho_j = \rho_0 - j \cdot \sigma$  et  $x_j = x_0 + j \cdot \sigma \cdot e_1$ , (si  $g_1 = +\infty$ , on a donc  $\rho_j = +\infty, \forall j$ ). Considérons alors les bons parallélotopes  $\Delta_j$  définis par :

$$\begin{aligned} \Delta_j &= \left\{ y \in A / y - x_0 = \sum_{i=1}^r \lambda_i e_i ; \lambda_1 \in [j \cdot \sigma, \rho_0] ; \lambda_i \in [f_i, g_i], i \geq 2 \right\} \\ &= \left\{ y \in A / y - x_j = \sum_{i=1}^r \lambda_i e_i ; \lambda_1 \in [0, \rho_j] ; \lambda_i \in [f_i, g_i], i \geq 2 \right\}. \end{aligned}$$

On a donc :  $x_j \in \Delta_j$  et

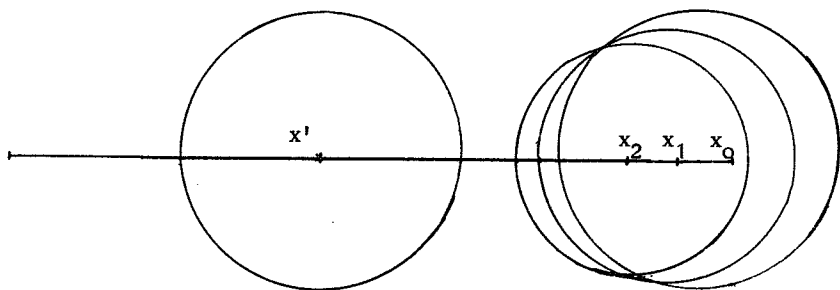
$$\Delta_{C_1 \cdot \sigma, C_2 \cdot \sigma} \subset \Delta_N \subset \dots \subset \Delta_j \subset \dots \subset \Delta_2 \subset \Delta_1 \subset \Delta_0 = \Delta.$$

b) Par hypothèse  $\rho_0 > C_1 \cdot \sigma$ , il existe donc un nombre réel  $\epsilon > 0$  tel que :  
 $\rho_N \geq 2 \cdot C \cdot C' \cdot h_1^{N+2} (N \cdot \sigma + \epsilon) + \sigma$ . Dans deux cas particuliers on impose des conditions supplémentaires à  $\epsilon$  : si  $\sigma \neq 0$ , on suppose  $\sigma > \epsilon \cdot C \cdot C' \cdot h_1^{N+2}$  ; si  $\omega$  est discrète et  $\sigma$  nul, on suppose  $2 \cdot C \cdot h_1^{N+2} \cdot \epsilon$  inférieur à la distance de  $x_0$  à tout mur  $M(u)$  qui ne contient pas  $x_0$ , (cf. 2.1.11 c)).

c) Soit  $x' = x_N + [C \cdot C' \cdot h_1^{N+2} \cdot (C_2 \cdot \sigma + \eta) + \sigma] e_1 \in \Delta_N$ , où on pose  $\eta = \epsilon$  si  $\sigma = 0$  et  $\eta = 0$  sinon. Pour  $m = -1, 0, 1, \dots, N$ , on note  $d_m = C \cdot h_1^{N-m} \cdot (C_2 \cdot \sigma + \epsilon)$ .

Pour  $j = 0, 1, \dots, N$ , on définit alors des sous-ensembles  $\Omega_j$  de  $I_L(\mathfrak{L})$  par :

$$\Omega_j = \Delta_j \cup \left( \bigcup_{j \leq m \leq N} B(x_m, d_m) \right) \cup B(x', d_{-1})$$



Soit  $U_j$  le sous-groupe des éléments de  $\mathfrak{L}(L)$  qui fixent  $\Omega_j$  ; comme  $\Omega_j$  contient  $\Omega_{j+1}$ ,  $U_j$  est inclus dans  $U_{j+1}$ .

d) Pour tout entier positif  $i$ , soit  $\Psi^i = \{a \in \mathfrak{L} / a(e_1) \geq i\}$  ;  $\Psi^0$  est un ensemble parabolique de racines de  $\mathfrak{L}$ , tel que  $\Psi^0 - \Psi^1$  soit le sous système de racines de  $\mathfrak{L}$  associé. De plus les  $\Psi^i$  forment une filtration décroissante de  $\Psi^0$  par des idéaux ; plus précisément :

$$\forall a \in \Psi^i, \forall b \in \Psi^{i'}, \text{ si } a+b \in \mathfrak{L} \text{ alors } a+b \in \Psi^{i+i'}$$

En fait si  $B$  est la base qui sert à définir  $\Delta$ , on a :

$\Psi^i = \{a = \sum_{b \in B} n_b \cdot b \in \mathfrak{L} / \sum_{b \in B} n_b \geq i\}$ . Il en résulte que  $\Psi^i$  est vide pour  $i > C''$ , en particulier pour  $i \geq 2^N$ .

e) Choisissons une origine dans  $A = A_{\mathcal{Y}}$  de façon à déterminer une valuation de la donnée radicielle de  $\mathfrak{L}(L)$  associée à  $\mathcal{Y}$ , et à identifier  $A$  à  $V_A$ . Pour tout couple  $(i, j)$  d'entiers vérifiant  $0 \leq j \leq N$  et  $1 \leq i \leq 2^N$ , définissons  $U_j^i$  comme le sous-groupe de  $\mathfrak{L}(L)$  engendré par  $U_j$  et les groupes radiciels  $U_{a, -a}(x_j) = U_a \cap \hat{P}_{\Delta_j}$  pour  $a \in \Psi^i$ , si  $\Omega$  est une partie d'appartement, on rappelle (1.1.9 2) a) que  $\hat{P}_{\Omega}$  est le fixateur de  $\Omega$ . On a donc :

$$U_j^{i+1} \subset U_j^i \subset U_{j+1}^i \quad \text{et} \quad U_j^i = U_j \quad \text{pour } i = 2^N.$$

N.B. Les groupes  $U_j^i$  dépendent de  $i$ , de  $j$  mais aussi de  $\Delta, C_1, C, C', \dots$  etc.

f) Remarque : Si  $a \in \pm \Psi^1$  et  $u \in U_a \cap \hat{P}_{\Delta_N}$ , alors  $u$  fixe  $B'(x', A, C' \cdot h_1 \cdot d_{-1}) \supset A \cap B(x', h_1 d_{-1})$ , donc aussi  $B(x', d_{-1})$  d'après les lemmes 4.2.2 et 4.2.3. En particulier  $U_j^i$  fixe  $B(x', d_{-1})$  pour tout couple  $(i, j)$ .

Lemme 4.2.8. Pour tout couple  $(i, j)$ ,  $U_j^i$  est un sous-groupe distingué de  $\hat{P}_{\Delta_j}$  ; il est stable par  $\Gamma$ .

Démonstration : La seconde assertion est une conséquence de la première.

En effet, pour tout  $\gamma \in \Gamma$ ,  $\gamma(A)$  est un appartement contenant  $\Delta_j$ , il existe donc  $g_{\gamma}$  dans  $\hat{P}_{\Delta_j}$  tel que  $\gamma \cdot A = g_{\gamma} \cdot A$  ; alors  $g_{\gamma}^{-1} \cdot \gamma$  est une isométrie qui fixe  $\Delta_j$ , stabilise  $A$  et induit une bijection de  $\mathfrak{L}$ , donc  $g_{\gamma}^{-1} \cdot \gamma$  stabilise  $U_j^i$  et on a :

$$\gamma(U_j^i) = g_{\gamma}(U_j^i) \cdot g_{\gamma}^{-1} = U_j^i.$$

Pour montrer la première assertion, on remarque que  $\Omega_j$ , contenant  $\Delta_j$  et uniquement déterminé par des conditions de distance à des points de  $\Delta_j$ , est

stable par  $\hat{P}_{\Delta_j}$  ; ainsi le fixateur  $U_j$  de  $\Omega_j$  est distingué dans  $\hat{P}_{\Delta_j}$ . Il suffit donc de montrer que, si  $u$  est un élément de  $U_{a,-a(x_j)}$  avec  $a \in \Psi^i$ , le commutateur de  $u$  et d'un élément de  $\hat{P}_{\Delta_j}$  est dans  $U_j^i$  ; on peut même se restreindre aux éléments générateurs de  $\hat{P}_{\Delta_j}$ , qui sont de quatre sortes :

a)  $u' \in U_a \cap \hat{P}_{\Delta_j}$  pour  $a' \in \Psi^0$  : alors  $(u, u') \in \prod_{\substack{p, q \in \mathbb{N}^* \\ pa+qa' \in \mathfrak{F}}} U_{pa+qa'} \cap \hat{P}_{\Delta_j} \subset U_j^i$ ,

puisque chacune des racines  $pa+qa'$  est dans  $\Psi^i$ .

b)  $n \in \hat{N}_{\Delta_j}$  :  $n$  laisse stable  $A$  et fixe  $\Delta_j$ , il permute donc les groupes radiciels  $U_a$ ,  $a \in \mathfrak{F}$  et stabilise  $\Psi^i$  ; ainsi il normalise le groupe engendré par les  $U_a \cap \hat{P}_{\Delta_j}$  pour  $a \in \Psi^i$ .

c)  $u' \in U_{-a'} \cap \hat{P}_{\Delta_j}$  pour  $a' \in \Psi^1$ ,  $a' \neq a$  : alors  $u'$  est dans

$U_{-a', a'(x_m) + \rho_m \cdot a'(e_1)}$  pour tout entier  $m$  tel que  $j \leq m \leq N$ , et  $(u, u')$  appartient au groupe engendré par les  $\hat{P}_{\Delta_j} \cap U_{pa-qa', (qa'-pa)(x_m) + q \cdot \rho_m \cdot a'(e_1)}$  pour  $p, q \in \mathbb{N}^*$  et  $pa-qa' \in \mathfrak{F}$ . Il suffit de montrer que chacun de ces groupes est contenu dans  $U_j$ , autrement dit qu'il fixe les boules  $B(x_m, d_m)$  et  $B(x', d_{-1})$ .

Mais  $q \cdot \rho_m \cdot a'(e_1) \geq \rho_m \geq h_1^{N-m+1} \cdot C \cdot C' \cdot (C_2 \sigma + \epsilon) = C' \cdot h_1 \cdot d_m$ , ainsi chacun de ces groupes fixe  $B(x_m, A, C' \cdot h_1 \cdot d_m) \supset A \cap B(x_m, h_1 \cdot d_m)$ , (4.2.1 et 4.2.2), donc aussi  $B(x_m, d_m)$ , (4.2.3). Enfin  $u$  et  $u'$  fixent la boule  $A \cap B(x', h_1 \cdot d_{-1})$ , (4.2.7 f), les groupes ci-dessus la fixent donc aussi, et ils fixent  $B(x', d_{-1})$ .

d)  $u' \in U_{-a} \cap \hat{P}_{\Delta_j} = U_{-a, a(x_j) + \rho_j \cdot a(e_1)}$  : alors  $(u, u')$  est, d'après [11 ; 6.3.7],

le produit d'un élément  $h$  de  $H = \hat{P}_A$  et d'éléments  $u_1 \in U_{-a} \cap \hat{P}_{\Delta_j}$ ,  $u_2 \in U_{a, -a(x_j) + \rho_j \cdot a(e_1)}$ ,  $u_3 \in U_{-2a} \cap \hat{P}_{\Delta_j}$  et  $u_4 \in U_{2a, -2a(x_j) + \rho_j \cdot a(e_1)}$ , (on rappelle que, si  $a \in \mathfrak{F}$ ,  $2a \notin \mathfrak{F}$ , on note  $U_{2a} = \{1\}$ ). On voit comme dans le cas c) ci-dessus,

que chacun de ces quatre sous-groupes est contenu dans  $U_j$ , et il suffit de montrer que

$h$  est dans  $U_j$ . Comme  $u$  et  $u'$  fixent  $B(x', d_{-1})$ , (4.2.7 f)),  $h$  fixe aussi  $B(x', d_{-1})$  et il suffit de montrer que  $h$  fixe les boules  $B(x_m, d_m)$ . Distinguons deux cas :

d1) Supposons  $\sigma \neq 0$  ou  $\omega$  dense. L'élément  $h$  fixe  $A \cup B(x', d_0)$  ;

d'après le lemme 4.2.4, il fixera aussi les boules  $B(x_m, d_0) \supset B(x_m, d_m)$  à condition de vérifier, si  $\omega$  est discrète, que  $x'$  et  $x_m$  sont dans la même orbite sous  $\mathcal{J}(L)$ . Mais alors,  $\sigma \neq 0$  et, par construction, on a  $x_m - x' = \mu \cdot e_1$  avec  $\mu \in \omega(L^*)$  ; d'autre part, comme  $\mathfrak{E}_j$  est adjoint (4.1.6 a)),  $e_1$  est dans  $X_{\mathfrak{K}}(\mathcal{F})$  ainsi on a bien  $x_m - x' \in \nu(\mathcal{J}(L))$ , (2.1.7 a)).

d2) Supposons  $\sigma = 0$  et la valuation  $\omega$  discrète ; il résulte de [11 ; 6.4.27],

que le commutateur de  $h$  avec un élément  $u'' \in U_{a''} \cap \hat{P}_{\Delta_j}$  pour  $a'' \in \mathfrak{F}$ , est dans  $U_{a'', (-a''(x_j)) +}$ . Ainsi  $h$  fixe l'étoile de  $x_0 = x_1 = \dots = x_N$ , c'est-à-dire, ([28 ; pages 1, 2]), l'ensemble des chambres de  $I_L(\mathfrak{E}_j)$  contenant  $x_0$  ; d'après le choix de  $\epsilon$  (4.2.7 b), cette étoile contient les boules  $B(x_m, C \cdot h_1^{N-m} \cdot \epsilon) = B(x_m, d_m)$ . Donc  $h$  appartient à  $U_j$ .

Remarques 4.2.9. "Amélioration du rapport  $C_1/C_2$ ".

a) Si la valuation  $\omega$  est dense, la constante  $C'_1 = (1+2 \cdot C \cdot C' \cdot h_1^{N+2}) C_2$  "convient", sans qu'il soit besoin de supposer  $C \cdot C' \cdot h_1^{N+2}$  entier : c'est-à-dire que l'on peut refaire tous les raisonnements de 4.2.6 à 4.2.14 en remplaçant  $C_1$  par  $C'_1$ , et donc que l'on a obtenu de meilleures constantes  $(C'_1, C_2)$  satisfaisant au lemme de redressement dans ce cas particulier.

La seule modification à faire est de poser  $x' = x_N + [C \cdot C' \cdot h_1^{N+2} \cdot (C_2 \sigma + \epsilon)] e_1$ .

b) Si le système de racines  $\phi$  de  $\mathfrak{g}$  sur  $L$  est réduit (en particulier si  $\mathfrak{g}$  est déployé sur  $L$ ) ou plus généralement si la donnée radicielle valuée de  $\mathfrak{g}$  sur  $L$ , vérifie la condition (Pr) de [11 ; 6.4.15], (voir aussi [11 ; 6.4.16 et 6.4.36]), la constante  $C_1^i = C_2(1 + C.C'.h_1^i.h_1^{N+2})$  "convient", si l'on définit  $h_1^i = 1$  ou  $2$  selon que  $\phi$  est réduit ou non. L'amélioration n'est effective que si  $\phi$  est réduit.

On pose  $x'' = x_N + (C.C'.h_1^i.h_1^{N+2}.(C_2\sigma + \epsilon))e_1$  et  $d_{-1}' = C.h_1^i.h_1^{N+1}(C_2\sigma + \epsilon)$ , où  $\epsilon > 0$  est soumis à la condition  $\rho_N > C.C'.h_1^i.h_1^{N+2}.(C_2\sigma + \epsilon)$ . On définit alors  $\Omega_j$  comme en 4.2.7 c, si ce n'est que l'on remplace  $B(x', d_{-1})$  par  $B(x'', d_{-1}')$ ; la définition des  $U_j^i$  reste inchangée. Le principe des modifications à apporter aux raisonnements se voit dans la partie d) de la démonstration ci-dessus : l'élément  $h$  introduit à cette occasion est dans  $H_{[\rho_N]} \subset H_{(\rho_N)}$ , (notations de [11 ; 6.4.15]), il fixe donc  $B''(z, A', \rho_N)$  ou  $B''(z, A', \frac{1}{2}\rho_N)$ , selon que  $\phi$  est réduit ou non, pour tout point  $z \in A$  et tout appartement  $A'$  contenant  $z$ . Une modification, du même ordre est à apporter à la démonstration du lemme 4.2.13.

Lemme 4.2.10. Soient  $i, j \in \mathbb{N}$  tels que  $1 \leq i \leq 2^{N-1}$  et  $0 \leq j \leq N$ .

1) Le groupe  $U_j^i / U_j^{2i}$  est commutatif.

2) Supposons de plus  $j \leq N-1$ , il existe un système d'homomorphismes de groupes de  $U_j^i / U_j^{2i}$  dans  $U_{j+1}^i / U_{j+1}^{2i}$ , indexés par  $\{\mu \in L / \omega(\mu) \geq -\sigma\}$  et notés  $\pi_\mu$  tel que :

a)  $\pi_\mu(\tilde{u}) + \pi_{\mu'}(\tilde{u}) = \pi_{\mu+\mu'}(\tilde{u}) \quad \forall \tilde{u}, \mu, \mu'$

b)  $\pi_1$  est la projection canonique déduite des inclusions :  $U_j^i \subset U_{j+1}^i$  et  $U_j^{2i} \subset U_{j+1}^{2i}$ .

c)  $\gamma(\pi_\mu(\tilde{u})) = \pi_{\gamma(\mu)}(\gamma(\tilde{u}))$  pour tout  $\gamma \in \Gamma$ , tout  $\tilde{u} \in U_j^i / U_j^{2i}$  et tout  $\mu \in L$  tel que  $\omega(\mu) \geq -\sigma$ .

Démonstration.

1) Si  $\Psi_{red}^i$  désigne l'ensemble des racines non divisibles de  $\Psi^i$ , on sait, d'après 1.1.7 2), et comme  $U_j$  est distingué dans  $U_j^i$ , que  $U_j^i / U_j^{2i}$  est le quotient du groupe  $\prod_{a \in \Psi_{red}^i} U_{a, -a(x_j)}$  par le sous-groupe engendré par les sous-groupes  $U_j \cap U_{a, -a(x_j)}$  pour  $a \in \Psi^i$  et par les sous-groupes  $U_{a, -a(x_j)}$  pour  $a \in \Psi^{2i}$ . Les relations de commutation de Chevalley montrent alors que  $U_j^i / U_j^{2i}$  est canoniquement isomorphe à un quotient du groupe commutatif  $\prod_{a \in \Psi^i - \Psi^{2i}} U_{a, -a(x_j)} / U_{2a, -2a(x_j)}$ , pour les racines  $a \in \Psi^i - \Psi^{2i}$ , (cf. 2.3.2).

2) Soit  $\tilde{u}$  dans  $U_j^i / U_j^{2i}$ , on le relève dans  $\Psi_j^i$  en  $u = \prod u_a$ , le produit étant étendu aux racines  $a \in \Psi^i - \Psi^{2i}$ , avec  $u_a \in U_{a, -a(x_j)} / U_{2a, -2a(x_j)} \subset U_a / U_{2a}$ .

Soit  $\mu \in L$  tel que  $\omega(\mu) \geq -\sigma$ , on pose alors :

$u_a' = \mu \cdot u_a \in U_{a, -a(x_j) - \sigma} / U_{2a, -2a(x_j) - 2\sigma} \subset U_{a, -a(x_{j+1})} / U_{2a, -2a(x_{j+1})}$ .  
Et on définit  $\pi_\mu(\tilde{u})$  comme l'image dans  $U_{j+1}^i / U_{j+1}^{2i}$  de  $u' = \prod u_a' \in \Psi_{j+1}^i$ .

Si  $u_1$  et  $u_2$  sont deux représentants de  $u$ , alors  $u_{1,a}$  et  $u_{2,a}$  diffèrent par un élément appartenant à  $U_{a, -a(x_j) + \|a\|, d_j}$ . Ainsi  $u_{1,a}'$  et  $u_{2,a}'$  diffèrent par un élément de  $U_{a, -a(x_j) - \sigma + \|a\|, d_j} \subset U_{a, -a(x_{j+1}) + \|a\|, h_1 \cdot d_{j+1}}$ ; pour tout entier  $m$  tel que  $j \leq m \leq N-1$ , cet élément fixe alors  $A \cap B(x_{m+1}, h_1 \cdot d_{m+1})$ , donc aussi  $B(x_{m+1}, d_{m+1})$ ; c'est dire qu'il est dans  $U_{j+1}^i$  puisqu'il fixe  $B(x', d_{-1})$  d'après la remarque 4.2.7 f). Ainsi  $u_1'$  et  $u_2'$  définissent le même élément  $\pi_\mu(\tilde{u})$  de  $U_{j+1}^i / U_{j+1}^{2i}$ . Les homomorphismes de groupe  $\pi_\mu$  ainsi construits vérifient évidemment les propriétés a) et b).

3) Il reste à démontrer c) : Soient  $a \in \Psi^{i-2i}$ ,  $u \in U_{a, -a(x_j)/U_{2a, -2a(x_j)}}$ ,  $\tilde{u}$  son image dans  $U_j^i/U_j^{2i}$ ,  $\gamma \in \Gamma$  et  $\mu \in L^*$ , tel que  $\omega(\mu) \geq -\sigma$ , on doit montrer que :  $\gamma(\pi_\mu(\tilde{u})) = \pi_{\gamma(\mu)}(\gamma(\tilde{u}))$ .

D'après 2.3.2, on a  $\gamma(\mu.u) = \gamma(\mu). \gamma(u)$ , la multiplication de droite étant effectuée dans le  $\mathcal{O}_L$ -module  $U_{\gamma a}/U_{2\gamma a}$ , où  $\gamma a$  est une racine associée à l'appartement  $\gamma A$ . Mais il existe  $v \in U_{\Delta_j}$  tel que  $\gamma.A = v.A$  ; ainsi  $v^{-1}.U_{\gamma a}.v$  est un groupe  $U_{a'}/U_{2a'}$ , avec  $a' \in \mathfrak{h}$ , et, comme  $v$  et  $\gamma$  fixent  $\Delta_j$ , on a  $a' \in \Psi^{i-2i}$ . Il en résulte la relation :

$$v^{-1}.(\gamma(\mu.u)).v = \gamma(\mu).[v^{-1}.(\gamma(u)).v],$$

les multiplications étant faites dans  $U_a/U_{2a}$  et  $U_{a'}/U_{2a'}$ .

Au quotient, dans les groupes  $U_j^i/U_j^{2i}$  et  $U_{j+1}^i/U_{j+1}^{2i}$ , on obtient :

$$\gamma(\pi_\mu(\tilde{u})) = \text{Int}(v).[\pi_{\gamma(\mu)} \cdot \{ \text{Int}(v^{-1}).\gamma(\tilde{u}) \}].$$

Montrons que cette formule, implique la formule cherchée. Pour cela on peut supposer que  $v$  est un élément générateur de  $U_{\Delta_j}$ , de l'un des trois types de la démonstration du lemme 4.2.8, (le cas  $v = n \in \hat{N}_{\Delta_j}$  est inutile pour  $U_{\Delta_j}$ ). On voit alors que le commutateur de  $v$  avec  $U_j^i$  (resp.  $U_{j+1}^i$ ) est dans  $U_j^i$  (resp.  $U_{j+1}^i$ ), sauf si  $v \in U_{b, -b(x_j)}$  avec  $b \in \Psi^0$ . Il suffit donc de montrer qu'un tel  $v$  agit, par automorphisme intérieur, linéairement sur le groupe

$$\left( \prod_{C \in \Psi_{\text{red}}^i} U_C \right) / \left( \prod_{C \in \Psi_{\text{red}}^{2i}} U_C \right).$$

Mais une telle vérification peut se faire sur une extension de  $L$  déployant un tore maximal, défini sur  $L$  et contenant le tore  $\mathcal{J}$  associé à  $A$ . On peut donc supposer  $\mathcal{G}$  déployé.

Soient  $c \in \Psi^i \subset \Psi^1$  et  $u' \in U_c$ , on a alors, d'après [12 ; XXIII § 3] :

$$v.(\mu.u').v^{-1} = (\mu.u'). \prod (\mu^q.u_{p,q}), \text{ avec } u_{p,q} \in U_{pb+qc},$$

le produit étant étendu aux couples  $(p,q) \in \mathbb{N}^{*2}$ , tels que  $pb+qc \in \mathfrak{h}$ .

Mais chaque racine  $pb+qc$  est dans  $\Psi^i$  et elle est dans  $\Psi^{2i}$  dès que  $q \neq 1$  ; on a donc bien la linéarité cherchée dans le quotient.

#### Remarques 4.2.11.

a) Le groupe  $U_j^i/U_j^{2i}$  est un quotient du  $\mathcal{O}_L$ -module  $V_j^i$  ; il est probable que le noyau correspondant soit un sous  $\mathcal{O}_L$ -module de  $V_j^i$  et donc que le groupe  $U_j^i/U_j^{2i}$  puisse être muni d'une structure de  $\mathcal{O}_L$ -module compatible avec l'action de  $\Gamma$ . C'est le cas au moins si  $h_1 = 1$ , en particulier si  $\mathcal{G} \otimes L$  est isomorphe à  $\mathfrak{sl}_{2,L}$ .

b) "Amélioration de  $C_2$ ".

Dans la démonstration ci-dessus, on n'a utilisé la position relative de  $x_j$  et  $x_{j+1}$  que par la relation :  $a(x_{j+1}) - a(x_j) \geq \sigma$  pour  $a \in \Psi^i$ . Or on n'utilisera le lemme 4.2.10 que dans la démonstration du lemme 4.2.12, avec  $i = 2^j$ . On pourrait donc construire les points  $x_j$  par :  $x_{j+1} = x_j + 2^{-j} \cdot \sigma \cdot e_1$ , pour  $j \geq 0$ , et  $x_0$  inchangé. Malheureusement on a utilisé dans le lemme 4.2.8 le fait que  $x_{j+1} - x_j$  est un multiple entier de  $\sigma e_1$  ; cependant, on ne l'a pas utilisé pour les deux cas particuliers de la remarque 4.2.9. On peut donc encore améliorer les constantes dans ces deux cas :

Les constantes  $C_2^i = 2(1-2^{-N})$  et  $C_1^i = (1+2C.C'.h_1^{N+2})C_2^i$  (cas a) de la remarque 4.2.9) ou  $C_1^i = (1+C.C'.h_1^{N+2})C_2^i$  (cas b)) conviennent.

Lemme 4.2.12. Pour tout entier  $j$ , vérifiant  $0 \leq j \leq C_2$ , l'image de

$H^1(\Gamma, U_0^1/U_0)$  dans  $H^1(\Gamma, U_j^1/U_j^{2j})$  est zéro.

Démonstration. Montrons ce résultat par récurrence sur  $j$  ; il est évident pour  $j = 0$ . Soient  $(\tilde{g}_\gamma)$  un 1-cocycle de  $\Gamma$  dans  $U_0^1/U_0$ , et pour chaque  $\gamma \in \Gamma$ , un relèvement  $g_\gamma$  de  $\tilde{g}_\gamma$  dans  $U_0^1$  ; d'après l'hypothèse de récurrence, il existe  $d \in U_j^1/U_{j+1}^1$  tel que, si on définit  $h_\gamma = d^{-1} \cdot g_\gamma \cdot \gamma(d)$ , alors  $h_\gamma$  appartient à  $U_j^{2j}$ . Ainsi on a un 1-cocycle dans  $U_j^{2j}/U_0$  et donc aussi dans  $U_j^{2j}/U_j^{2j+1}$  ; notons  $(\tilde{h}_\gamma)$  ce dernier 1-cocycle, il s'agit de montrer que son image dans  $U_{j+1}^{2j}/U_{j+1}^{2j+1}$  est un 1-cobord.

Mais soit  $\lambda \in L^*$  tel que  $\omega(\frac{T(\lambda)}{\lambda}) = \sigma$ , (4.2.6), on peut définir un élément  $\tilde{d}'$  de  $U_{j+1}^{2j}/U_{j+1}^{2j+1}$  par la formule :  $\tilde{d}' = \sum_{\gamma \in \Gamma} \pi_{\frac{\lambda(\lambda)}{T(\lambda)}}(\tilde{h}_\gamma)$ .

Le lemme 4.2.10 montre également que l'on peut effectuer les calculs comme dans un  $(\Gamma, L)$ -espace vectoriel. On vérifie alors, par un calcul classique, que l'image  $(\pi_1(\tilde{h}_\gamma))$  dans  $U_{j+1}^{2j}/U_{j+1}^{2j+1}$  du 1-cocycle  $(\tilde{h}_\gamma)$  est le cobord de  $\tilde{d}'$  ; le lemme est donc démontré.

Lemme 4.2.13. Désignons par  $\Delta_-$  la réunion des translatés de  $\Delta$  par les vecteurs de  $R^- \cdot e_1$ , on a alors :

$$\hat{P}_{\Delta} = \hat{P}_{\Delta_0} = U_0^1 \cdot \hat{P}_{\Delta_-} ; U_0^1 \cap \hat{P}_{\Delta_-} \subset U_0 = U_0^2 \subset U_N^2 = U_N.$$

Démonstration :

a) D'après 1.1.7, on a :  $\hat{P}_{\Delta} = U_1^+ \cdot U_2^+ \cdot U^- \cdot \hat{N}_{\Delta}$  où  $U_1^+$  (resp.  $U_2^+$ ,  $U^-$ ) est l'image dans  $U_{\Delta}$  par l'application "produit" du groupe produit direct des sous-groupes radiciels  $U_{\Delta} \cap U_a$  pour  $a \in \Psi^1$  (resp.  $\Phi^+ - \Psi^1$ ,  $\Phi^-$ ) ; ( $U_1^+$  et  $U^-$  sont des sous-groupes de  $U_{\Delta}$ ). Mais alors  $\hat{N}_{\Delta} = \hat{N}_{\Delta_-}$ ,  $U_2^+ \subset \hat{P}_{\Delta_-}$ ,  $U^- \subset \hat{P}_{\Delta_-}$  et  $U_1^+ \subset U_0^1$  ; d'où le premier résultat.

b) Supposons  $\sigma \neq 0$  ou  $\omega$  dense. Le groupe  $U_0^1$  fixe  $B(x', d_{-1})$ , (cf. 4.2.7 f)). Par convexité,  $\hat{P}_{\Delta_-} \cap U_0^1$  fixe  $A \cap B(x_m, h_1 d_m)$  pour tout entier  $m$  tel que  $0 \leq m \leq N$  ; d'après le lemme et la remarque 4.2.3, pour montrer le second résultat, il suffit de voir que le fixateur dans  $\mathfrak{L}(L)$  de  $A \cup B(x', d_{-1}) \supset A \cup B(x', d_0)$  fixe aussi les boules  $B(x_m, d_m)$  : la démonstration est la même que dans la partie d1) du lemme 4.2.8.

c) Supposons  $\sigma = 0$  et  $\omega$  discrète, alors  $x_0 = x_1 = \dots = x_N$ . Dans [11 ; 7.2.7] dont on reprend les notations, on définit une donnée radicielle génératrice dans un quotient  $P_{x_0}/P_{x_0}^*$  de  $P_{x_0}$ . L'immeuble sphérique de cette donnée radicielle est l'étoile  $E$  de  $x_0$ , ou plus précisément le quotient de  $E - \{x_0\}$  par la relation qui identifie  $z$  et  $y$  s'ils sont dans une même chambre contenant  $x_0$  et si  $z, y, x_0$  sont alignés.

$U_0$  fixe  $E$  donc, quitte à modifier  $P_{x_0}^*$ , on peut supposer  $U_0 \subset P_{x_0}^*$ . L'image de  $U_0^1 \subset P_{x_0}$  dans  $P_{x_0}/P_{x_0}^*$  est contenue dans le groupe engendré par les groupes radiciels quotients  $\bar{U}_a$  pour  $a \in \Phi_{x_0} \cap \Psi^1$ , tandis que l'image de  $\hat{P}_{\Delta_-} \cap P_{x_0} = P_{\Delta_-}$  n'a une intersection non réduite à l'unité avec  $\bar{U}_a$  que si  $a \in \Phi_{x_0} \cap (\Psi^0 - \Psi^1)$ . Il en résulte que l'image de  $U_0^1 \cap \hat{P}_{\Delta_-}$  dans  $P_{x_0}/P_{x_0}^*$  est zéro ; donc  $U_0^1 \cap \hat{P}_{\Delta_-}$  fixe  $E$  et est contenu dans  $U_0$ .

4.2.14. Fin de la démonstration du lemme de redressement.

a) Pour tout  $\gamma \in \Gamma$ ,  $\gamma A$  est un appartement de  $I_L(\mathfrak{k})$ , contenant  $\Delta$ , il existe donc  $h_\gamma$  dans  $\hat{P}_{\Delta}$  tel que  $\gamma A = h_\gamma^{-1} \cdot A$ . Alors  $\gamma \Delta_- = h_\gamma^{-1} \cdot \Delta_-$  et pour cette dernière formule on peut, d'après le lemme 4.2.13, supposer  $h_\gamma$  dans  $U_0^1$ . Alors si  $\gamma_1$  et  $\gamma_2$  sont dans  $\Gamma$ , on a :

$$h_{\gamma_1 \gamma_2}^{-1} \Delta_- = \gamma_1 \gamma_2 (\Delta_-) = \gamma_1 (h_{\gamma_2}^{-1}) \gamma_1 (\Delta_-) = \gamma_1 (h_{\gamma_2}^{-1}) h_{\gamma_1}^{-1} \Delta_-,$$

d'après les lemmes 4.2.13 et 4.2.8, il vient :  $h_{\gamma_1 \gamma_2} \cdot \gamma_1 (h_{\gamma_2}^{-1}) \cdot h_{\gamma_1}^{-1} \in U_0$ . On obtient

ainsi un 1-cocycle  $\tilde{h}_\gamma$  de  $\Gamma$  dans  $U_0^1/U_0$ . D'après le lemme 4.2.12, il existe un élément  $g_1 \in U_N^1 \subset \hat{P}_{\Delta_N}$  tel que :  $g_1 \cdot h_\gamma \cdot \gamma(g_1)^{-1} \in U_N^{2N} = U_N$  pour tout  $\gamma \in \Gamma$ .

b) Pour  $t \in \mathbb{R}$ ,  $t \leq C_2 \cdot \sigma$ , définissons  $\Delta(t)$  comme le bon paralléloétope de  $A$  construit comme  $\Delta = \Delta_0$ , en remplaçant uniquement  $f_1 = 0$  par  $f_1 = t$ . On a alors  $\Delta_j = \Delta(j, \sigma)$  pour  $0 \leq j \leq N = C_2$  et,

$$\Delta_{C_1 \cdot \sigma, C_2 \cdot \sigma} \subset \Delta_N \subset \Delta(t) \subset \Delta_- = \bigcup_{t \leq 0} \Delta(t).$$

c) Le point  $x_{-\epsilon} = x_0 - \epsilon \cdot e_1$  est dans la boule  $B(x_N, d_N) = B(x_N, C \cdot (C_2 \sigma + \epsilon))$  ;

comme  $U_N$  fixe  $\Omega_N \supset \Delta_N \cup B(x_N, d_N)$ , il fixe aussi l'intersection de l'enclos de  $\Delta_N \cup \{x_{-\epsilon}\}$  et du sous-espace affine de  $A$  engendré par  $\Delta$  ; autrement dit,

$U_N$  fixe  $\Delta(-\epsilon)$ . Alors, pour tout  $\gamma \in \Gamma$ , on a :

$$\gamma(g_1 \Delta(-\epsilon)) = \gamma(g_1) \gamma(\Delta(-\epsilon)) = \gamma(g_1) h_\gamma^{-1} \Delta(-\epsilon) = g_1 \Delta(-\epsilon).$$

Donc  $g_1(\Delta(-\epsilon))$  est stable par  $\Gamma$ , mais, comme  $g_1 \Delta_N = \Delta_N$  est fixe par  $\Gamma$  et contient un ouvert de  $g_1 \Delta(-\epsilon)$ , ce dernier paralléloétope est fixe par  $\Gamma$ .

d) En itérant ce procédé on obtient :

une suite  $\epsilon_1 = \epsilon, \epsilon_2, \dots, \epsilon_n, \dots$  de nombres  $> 0$  et une suite  $g_1, g_2, \dots, g_n, \dots$

d'éléments de  $\hat{P}_{\Delta_N}$  telles que, si l'on définit  $t_0 = 0$ ,  $t_n = \epsilon_1 + \epsilon_2 + \dots + \epsilon_n \in \mathbb{R}$  et

$h_n = g_1 \cdot g_2 \cdot \dots \cdot g_n \in \hat{P}_{\Delta_N}$ , on ait :  $g_n$  fixe  $\Delta(-t_{n-1} + C_2 \sigma)$  et  $\Gamma$  fixe  $h_n(\Delta(-t_n))$  pour

$n \geq 1$ .

e) La suite  $t_n$  tend vers  $+\infty$  :

Si  $\sigma$  est non nul ou  $\omega$  non discrète, cela résulte de ce que les conditions imposées à  $\epsilon = \epsilon_1 > 0$  en 4.2.7 b) impliquent que l'on peut choisir la suite  $\epsilon_n$

croissante, (quand  $n$  croît, le nombre  $\rho_N$  relatif à  $\Delta(-t_n)$  croît).

Si  $\sigma$  est nul et  $\omega$  discrète, en remplaçant à chaque fois  $\Delta(-t_n)$  par l'intersection de  $\text{cl}(\Delta(-t_n))$  avec l'espace affine engendré par  $\Delta(-t_n)$ , on est sûr que  $\epsilon_n$  est borné inférieurement par un nombre  $> 0$ , d'où la conclusion.

f) Pour  $n \in \mathbb{N}$ , définissons  $y_n = x_N - t_n \cdot e_1$ , alors  $y_n \in \Delta(-t_n + C_2 \sigma)$  et

$\Delta(-t_n + C_2 \sigma) \subset \text{cl}(\{y_n\} \cup \Delta_N)$  ; en appliquant le lemme 2.3.8 à  $\Delta' = \Delta_N$  et à la

géodésique infinie  $\Delta'' = \bigcup_n h_n([y_0, y_n])$ , on en déduit que

$\Delta_\infty = \bigcup_n h_n(\Delta(-t_n + C_2 \sigma)) \subset \text{cl}(\Delta' \cup \Delta'')$  est contenu dans un appartement  $A'$  de  $I_L(\mathbb{Z})$ .

Alors  $\Delta_\infty$  est un bon paralléloétope de  $A'$ , construit avec les mêmes constantes  $(f_1, g_1)$  que  $\Delta$ , si ce n'est que, pour  $\Delta'$  on a  $f_1 = -\infty$ . De plus

$\Delta_\infty \supset (\Delta_\infty)_{C_1 \sigma, C_2 \sigma} \supset \Delta_N \supset \Delta_{C_1 \sigma, C_2 \sigma}$ ,  $\Delta$  est fixe par  $\Gamma$  et contenu dans le  $(C_1 \sigma, C_2 \sigma)$

redressé de  $\Delta$  dans  $A'$ . La démonstration est donc achevée (4.2.6 c)).